

COMMITTENTE:



ALTA  
SORVEGLIANZA:



GENERAL CONTRACTOR:



**INFRASTRUTTURE FERROVIARIE STRATEGICHE DEFINITE DALLA LEGGE  
OBIETTIVO N. 443/01**

**LINEA AV/AC TORINO – VENEZIA Tratta VERONA – PADOVA**

**Lotto funzionale Verona – Bivio Vicenza**

**PROGETTO ESECUTIVO**

**RILEVATI**

**Rilevato ferroviario AV da pk 0+174,45 a pk 0+475,00**

**GENERALE**

**Relazione Geotecnica**

GENERAL CONTRACTOR		DIRETTORE LAVORI		SCALA
IL PROGETTISTA INTEGRATORE	Consorzio Iricav Due ing. Giovanni MALAVENDA iscritto all'ordine degli ingegneri di Venezia n. 4289 Data:	ing. Luca Zaccaria iscritto all'ordine degli ingegneri di Ravenna n.A1206 Data:		-

COMMESSA    LOTTO    FASE    ENTE    TIPO DOC.    OPERA/DISCIPLINA    PROGR.    REV.    FOGLIO

I	N	1	7	1	1	E	I	2	R	B	R	I	0	2	0	0	0	0	1	B	-	-	-	D	-	-	-
---	---	---	---	---	---	---	---	---	---	---	---	---	---	---	---	---	---	---	---	---	---	---	---	---	---	---	---

	VISTO CONSORZIO IRICAV DUE	
	Firma	Data
	Luca RANDOLFI 	

Progettazione:



Rev.	Descrizione	Redatto	Data	Verificato	Data	Approvato	Data	IL PROGETTISTA
A	EMISSIONE	M.Conti	Marzo 2021	V. Pastore	Marzo 2021	P. Ascari	Marzo 2021	 P. Ascari Data: Aprile 2021
B	RECEPIMENTO ISTRUTTORIA VALIDATORE	N. Valimberti	Aprile 2021	V. Pastore	Aprile 2021	P. Ascari	Aprile 2021	

CIG. 8377957CD1	CUP: J41E9100000009	File: IN1711E12RBRI0200001B.DOCX
		Cod. origine:





Progetto cofinanziato dalla Unione Europea

TUTTI I DIRITTI DEL PRESENTE DOCUMENTO SONO RISERVATI: LA RIPRODUZIONE ANCHE PARZIALE E' VIETATA

<p>GENERAL CONTRACTOR</p> 	<p>ALTA SORVEGLIANZA</p> 			
<p>Rilevato ferroviario AV da pk 0+174,45 a pk 0+475,00 Relazione Geotecnica</p>	<p>Progetto IN17</p>	<p>Lotto 11</p>	<p>Codifica EI2RBRI0200001B</p>	<p>Foglio 2 di 36</p>

## INDICE

1	INTRODUZIONE .....	3
2	DOCUMENTI DI RIFERIMENTO .....	4
2.1	Documentazione di progetto.....	4
2.2	Normativa e standard di riferimento.....	4
2.3	Bibliografia .....	5
3	INQUADRAMENTO DELL'OPERA .....	6
3.1	Geometria del rilevato.....	6
4	CARATTERIZZAZIONE GEOTECNICA .....	7
4.1	Inquadramento geotecnico .....	7
4.1.1	Indagini disponibili.....	7
4.1.2	Livello di falda .....	9
4.2	Condizioni geotecniche del sito .....	10
4.3	Sintesi del modello geotecnico di riferimento .....	17
5	CARATTERISTICHE SISMICHE E SUSCETTIBILITÀ ALLA LIQUEFAZIONE.....	18
5.1	Sollecitazione sismica di progetto.....	18
5.1.1	Vita Nominale.....	18
5.1.2	Classe d'uso .....	18
5.1.3	Periodo di riferimento per l'azione sismica .....	19
5.1.4	Categorie di Sottosuolo.....	19
5.1.5	Condizioni topografiche .....	19
5.1.6	Accelerazione sismica di riferimento .....	20
5.2	Suscettibilità alla liquefazione.....	20
5.2.1	CRR da correlazione su prove CPT .....	22
5.2.2	CRR da correlazione su prove SPT.....	24
6	VERIFICA GEOTECNICA DEL RILEVATO .....	29
7	CONCLUSIONI E RACCOMANDAZIONI .....	30
	Allegati .....	31
	ALLEGATO 1 - PROFILO STRATIGRAFICO.....	32
	ALLEGATO 2 - SONDAGGI.....	34

GENERAL CONTRACTOR 	ALTA SORVEGLIANZA 			
Rilevato ferroviario AV da pk 0+174,45 a pk 0+475,00 Relazione Geotecnica	Progetto IN17	Lotto 11	Codifica EI2RBRI0200001B	Foglio 3 di 36

## 1 INTRODUZIONE



Il presente documento costituisce la Relazione Geotecnica del rilevato RI02, previsto nell'ambito del Progetto Esecutivo della sub tratta Verona – Vicenza della Linea AV/AC Verona – Padova. Tale rilevato si estende tra il km 0+174,45 ed il km 0+475,00.

La relazione descrive in dettaglio il modello geotecnico definito per il rilevato, ricavato sulla base delle indagini geognostiche eseguite nelle vicinanze dell'opera e delle caratteristiche geotecniche attribuite ai materiali rinvenuti lungo la tratta.

Come si vedrà dell'esposizione dei dati, il rilevato si presenta radente al piano campagna esistente, e quindi non applica carichi permanenti di rilievo. Il terreno che ospita il rilevato è costituito da ghiaie addensate.

Non sussistono quindi i presupposti per le verifiche di stato limite ultimo e di esercizio.

Il presente documento si limita pertanto ad esporre le caratteristiche geotecniche dell'area, e a valutare la stabilità del sito (verifiche di liquefazione).

<p>GENERAL CONTRACTOR</p> 	<p>ALTA SORVEGLIANZA</p> 			
<p>Rilevato ferroviario AV da pk 0+174,45 a pk 0+475,00 Relazione Geotecnica</p>	<p>Progetto IN17</p>	<p>Lotto 11</p>	<p>Codifica EI2RBRI0200001B</p>	<p>Foglio 4 di 36</p>



## 2 DOCUMENTI DI RIFERIMENTO

### 2.1 Documentazione di progetto

- [1] Sezioni di Progetto Esecutivo
- [2] IN1710EI2RBGE0000001A Relazione Geotecnica (da 0+000 a 10+050)
- [3] IN1710EI2LZGE0000012A Planimetria con ubicazione indagini e profilo geotecnico 1 di 11
- [4] IN1710EI2RHGE0000005A Relazione sulla modellazione sismica del sito e pericolosità sismica di base 1/2
- [5] IN1710EI2P5GE0000001A Planimetrie con classificazione sismica del territorio 1 di 11
- [6] IN1710EI2P5GE0000012A Planimetria con ubicazione indagini di Progetto Esecutivo 1 di 11
- [7] IN1710EI2RHGE0000003A Relazione idrogeologica 1/2
- [8] IN1710EI2RHGE0000007A-8A Relazione di sintesi dei sondaggi e delle prove eseguite
- [9] IN1710EI2PRGE0000001A-2A, Risultati Indagini in sito di Progetto – SOCOTEC
- [10] IN1710EI2PRGE0000003A-4A, Risultati Indagini in sito di Progetto Esecutivo – ATI GEOSERVING – GEOLAVORI
- [11] IN1710EI2PRGE0000005A-8A, Risultati Prove di laboratorio di Progetto Esecutivo – SOCOTEC
- [12] IN1710EI2PRGE0000009A-12A, Risultati Prove di laboratorio di Progetto Esecutivo – ATI GEOSERVING - GEOLAVORI
- [13] IN1710EI2IGGE0000001A-2A, Risultati Indagini Geofisiche di Progetto Esecutivo – SOCOTEC
- [14] IN1710EI2IGGE0000003A-4A, Risultati Indagini Geofisiche di Progetto Esecutivo – ATI GEOSERVING - GEOLAVORI

### 2.2 Normativa e standard di riferimento



- [15] Decreto Ministeriale del 14 gennaio 2008: “Approvazione delle Nuove Norme Tecniche per le Costruzioni”, G.U. n.29 del 04.2.2008, Supplemento Ordinario n.30
- [16] Circolare 2 febbraio 2009, n. 617 - Istruzioni per l'applicazione delle “Nuove norme tecniche per le costruzioni” di cui al D.M. 14 gennaio 2008
- [17] UNI EN 1997-1 : Eurocodice 7 – Progettazione geotecnica – Parte 1: Regole generali
- [18] UNI EN 1998-5 : Eurocodice 8 – Progettazione delle strutture per la resistenza sismica – Parte 5: Fondazioni, strutture di contenimento ed aspetti geotecnici
- [19] RFI DTC SI PS MA IFS 001 B Manuale di progettazione delle opere civili, Parte II – Sezione 2, Ponti e strutture
- [20] RFI DTC SI CS MA IFS 001 B Manuale di progettazione delle opere civili, Parte II – Sezione 3, Corpo stradale
- [21] RFI DTC INC PO SP IFS 001 A Specifica per la progettazione e l'esecuzione dei ponti ferroviari e di altre opere minori sotto binario

<p>GENERAL CONTRACTOR</p> 	<p>ALTA SORVEGLIANZA</p> 			
<p>Rilevato ferroviario AV da pk 0+174,45 a pk 0+475,00 Relazione Geotecnica</p>	<p>Progetto IN17</p>	<p>Lotto 11</p>	<p>Codifica EI2RBRI0200001B</p>	<p>Foglio 5 di 36</p>

- [22] RFI DTC INC CS SP IFS 001 A Specifica per la progettazione geotecnica delle opere civili ferroviarie
- [23] RFI DTC SICS SP IFS 001 B Capitolato generale tecnico di appalto delle opere civili – Parte II – Sezione 5 – “Opere in terra e scavi” – RFI
- [24] RFI TCAR ST AR 01 001 D Standard di qualità geometrica del binario con velocità fino a 300 km/h
- [25] Specifiche Tecniche di interoperabilità 2015 (REGOLAMENTO (UE) N. 1299/2014 DELLA COMMISSIONE del 18 novembre 2014 relativo alle specifiche tecniche di interoperabilità per il sottosistema «infrastruttura» del sistema ferroviario dell’Unione europea)

### 2.3 Bibliografia

- [26] Hynes, M.E., and Olsen, R.S. (1999), “Influence of confining stress on liquefaction resistance”, Proc., Int. Workshop on Phys. And Mech. Of Soil Liquefaction, Balkema, Rotterdam, The Netherlands, 145-152.
- [27] Idriss, I.M. and Boulanger, R.W. (2004), “Semi-empirical procedures for evaluating liquefaction potential during earthquakes”. In: Proceedings, 11th International Conference on Soil Dynamics and Earthquake engineering, and 3d International Conference on Earthquake Geotechnical Engineering. D. Doolin et al., eds., Stallion press, Vol. 1, pp. 32-56.
- [28] Liao, S.C.C. and Whitman, R.V. (1986), “Overburden Correction Factors for SPT in sand”, Journal of Geotechnical Engineering, Vol. 112, No. 3, 373-377.
- [29] Robertson P.K. and Wride C.E. (1998). “ Evaluating cyclic liquefaction potential using the cone penetration test”. Canadian Geotechnical Journal, Ottawa, 35(3), pp. 442-459.
- [30] Rocscience (2017), Slide ver 9.012, dic. 2020
- [31] Rocscience (2009), Settle 3D ver 2.011
- [32] Seed, H.B. and Idriss, I.M. (1971), “Simplified procedure for evaluating soil liquefaction potential”, Journal of Geotechnical Engineering Division, ASCE, 97(9), pp.1249-1273.
- [33] Seed, H.B. and Idriss, I.M. (1982), “Ground motions and soil liquefaction during earthquakes”, Earthquake Engineering Research Institute, Oakland, CA, USA.
- [34] Seed, R.B., Tokimatsu, K., Harder, L.F., Chung, L.M. (1985), “The influence of SPT procedures in soil liquefaction resistance evaluations”, Journal of Geotechnical Engineering, ASCE, 111(12), pp.1425-1445.
- [35] Youd, T.L., Idriss, I.M., Andrus, R.D., Castro, G., Christian, J.T., Dobry, R., Finn, L.W.D., Harder, L.F. Jr., Hynes, M.H., Ishihara, K., Koester, J.P., Liao, S.S.C., Marcuson, W.F. III, Martin, G.R., Mitchell, J.K., Moriwaki, Y., Power, M.S., Robertson, P.K., Seed, R.B. and Stokoe, K.H. II (2001), “Liquefaction Resistance of Soil: Summary Report from the 1996 NCEER and 1998 NCEER/NSF Workshops on Evaluation of Liquefaction Resistance of Soils”, Journal of Geotechnical and Geoenvironmental Engineering, vol. 127, n° 10, pp.817-833.

<p>GENERAL CONTRACTOR</p> 	<p>ALTA SORVEGLIANZA</p> 			
<p>Rilevato ferroviario AV da pk 0+174,45 a pk 0+475,00 Relazione Geotecnica</p>	<p>Progetto IN17</p>	<p>Lotto 11</p>	<p>Codifica EI2RBRI0200001B</p>	<p>Foglio 6 di 36</p>

### 3 INQUADRAMENTO DELL'OPERA

Il rilevato ferroviario in esame si estende dalla pk 0+174,45 alla pk 0+475 per una lunghezza totale di 300.55 m in affiancamento, lato nord, all'esistente rilevato ferroviario della linea storica. La tratta presenta alla pk 0+174,45 (inizio WBS) un intervento di prolungamento di un sottopasso esistente (SL01). Lato sud il rilevato ferroviario presenta per tutta l'estensione dell'intervento opere in c.a. di regimazione delle acque.

#### 3.1 Geometria del rilevato

Il rilevato ha una sezione uniforme per tutto il tracciato ed è realizzato a quota piano campagna, pertanto non si rendono necessarie analisi di stabilità o di calcolo di cedimenti.

In Figura 1 si riporta la Sezione n° 4 (pk 0+250) come esempio per la tratta in esame.

Come detto, sul lato sud si nota la presenza di un manufatto in ca, che verrà ritombato, in modo che la sopraelevazione del P.-F. si limita in partica al solo spessore del ballast., la cui stabilità non è in discussione.

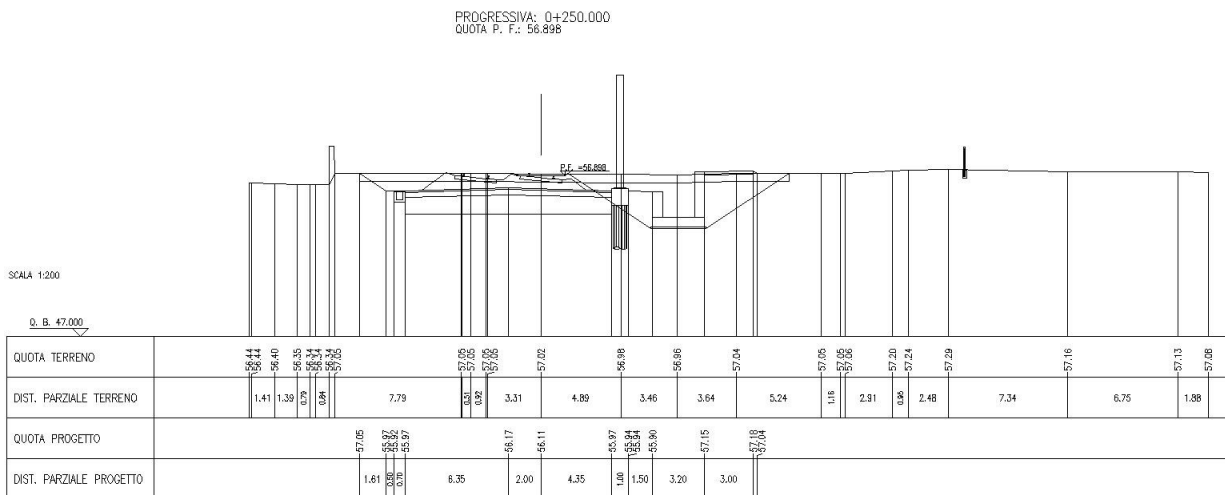


Figura 1 – Sezione di riferimento n° 4 (pk 0+250) estratta da sezioni PE (Doc Rif. [1])

<p>GENERAL CONTRACTOR</p> 	<p>ALTA SORVEGLIANZA</p> 			
<p>Rilevato ferroviario AV da pk 0+174,45 a pk 0+475,00 Relazione Geotecnica</p>	<p>Progetto IN17</p>	<p>Lotto 11</p>	<p>Codifica EI2RBRI0200001B</p>	<p>Foglio 7 di 36</p>

## 4 CARATTERIZZAZIONE GEOTECNICA

### 4.1 Inquadramento geotecnico

La tratta relativa al rilevato in esame si estende dalla progressiva pk 0+174.45 alla pk 0+475.

Dal punto di vista geotecnico la zona è generalmente interessata dalla presenza superficiale di materiale antropico, che appartiene alle opere realizzate per lo snodo ferroviario. Il materiale di riporto si presenta comunque costituito da materiale a grana grossa che, adeguatamente compattato (se del caso), potrà fungere da livello di fondazione.

Al di sotto di esso sono presenti ghiaie ben addensate (Unità 6) fino ad una profondità di circa 30 m.

Per una trattazione di dettaglio delle unità sopra citate si rimanda alla Relazione Geotecnica Generale del tratto in esame (Doc. Rif. [2]).

Nella Figura 2 si riporta il profilo geotecnico specifico per il rilevato RI02, estratto dalla Planimetria e Profilo Geotecnico Tav. 1 di 11 (Doc. Rif. [3]), vedi ALLEGATO 1 - .

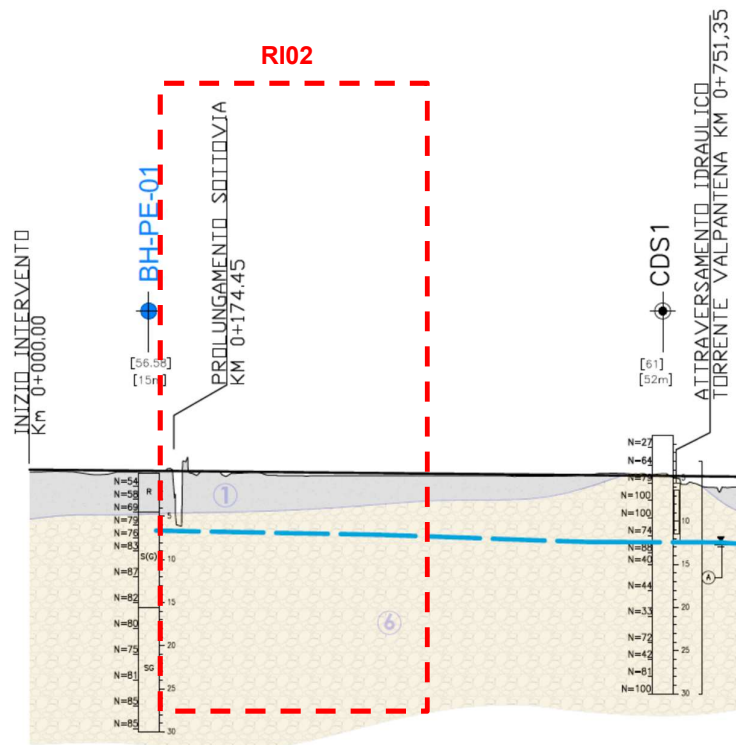




Figura 2 - Profilo Geotecnico Rilevato RI02, estratto dal Profilo Geotecnico Generale (Doc. Rif. [3])

#### 4.1.1 Indagini disponibili

L'ubicazione delle indagini disponibili relative all'opera esaminata è illustrata nella Figura 3, estratta dalla Planimetria geotecnica con ubicazione indagini e profilo geotecnico (Doc. Rif. [3]). Per ulteriori dettagli si rimanda alle relazioni

GENERAL CONTRACTOR 	ALTA SORVEGLIANZA 			
Rilevato ferroviario AV da pk 0+174,45 a pk 0+475,00 Relazione Geotecnica	Progetto IN17	Lotto 11	Codifica EI2RBRI0200001B	Foglio 8 di 36

di sintesi delle indagini (Doc. Rif. [8] - [14]).

Il risultato delle indagini è riportato in ALLEGATO 2 - .

Nella tratta in esame si fa riferimento all'indagine elencata in Tabella 1 e, più in generale, all'inquadramento geotecnico dell'area riportato in [2].

Nel seguente paragrafo si riporta la caratterizzazione geotecnica, ottenuta basandosi sui risultati delle indagini relative all'area di interesse e sulla caratterizzazione generale dell'area in cui si inserisce il rilevato, presentata nella Relazione Geotecnica (Doc. Rif. [2]).

*Tabella 1 - Indagini da pk 0+174,45 a pk 0+475*

<b>Progressiva pk</b>	<b>ID indagini -</b>	<b>Campagna anno</b>
0+139	BH-PE-01	2020-2021



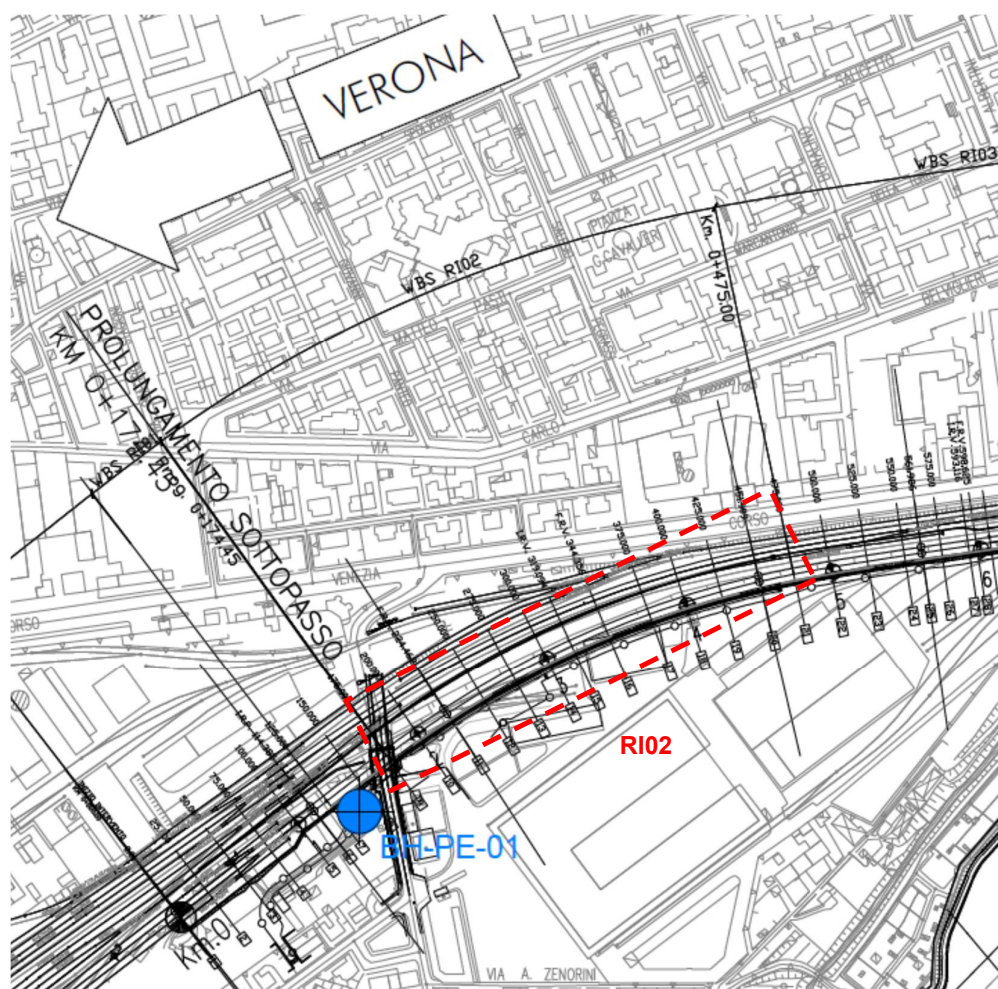




Figura 3 - Planimetria Rilevato RI02, estratto dalla Planimetria Generale (Doc. Rif. [3])

Per una trattazione completa dei criteri utilizzati per la valutazione dei parametri geotecnici a partire dai dati di prove in sito e di laboratorio, si rimanda al capitolo 5 della Relazione Geotecnica Generale (Doc. Rif. [2]).

#### 4.1.2 Livello di falda

Per il livello di falda si è fatto riferimento ai valori di soggiacenza misurati nei piezometri lungo l'area in cui si inserisce l'opera in esame e riportati nella Relazione Idrogeologica (Doc. Ref. [7]). Quest'ultimi indicano una sostanziale stabilità nelle escursioni stagionali e un livello medio di falda alla quota 50 m slm, ovvero 6-7m sotto il piano campagna. Tale livello non interferisce con la funzionalità dell'opera in oggetto.

<p>GENERAL CONTRACTOR</p> 	<p>ALTA SORVEGLIANZA</p> 			
<p>Rilevato ferroviario AV da pk 0+174,45 a pk 0+475,00 Relazione Geotecnica</p>	<p>Progetto IN17</p>	<p>Lotto 11</p>	<p>Codifica EI2RBRI0200001B</p>	<p>Foglio 10 di 36</p>

## 4.2 Condizioni geotecniche del sito

La Figura 5 mostra i risultati delle prove SPT eseguite in corrispondenza del BH-PE-01. Il sondaggio rileva la presenza di materiale di riporto nei primi 4,5 m. Tale materiale, descritto come sabbia fine ghiaiosa, presenta comunque valori SPT superiori a 50 colpi/30cm e si presenta molto addensato.

Procedendo con la profondità si incontra uno strato di ghiaie e ghiaie sabbiose ben addensate (Unità 6), che si estende fino a circa 30 m pc. All'interno del deposito incoerente le percentuali di materiale a grana fine sono generalmente inferiori a 20% e si registrano valori di  $N_{SPT}$  mediamente pari a 80 colpi/30cm. La densità relativa delle ghiaie risulta in media del 50% e quindi il deposito risulta da mediamente addensato.

Il profilo di  $V_s$  derivante dalle interpretazioni discusse nella Relazione Sismica (Doc. Rif. [4]), basata sui risultati delle prove DH, MASW e infine SPT, conferma la presenza di materiali incoerenti da mediamente a molto addensati. Sulla base dei valori di  $V_s$  si sono stimati i valori del modulo di taglio alle piccole deformazioni ( $G_0$ ) che variano tra 120 MPa e 250 MPa.

Per i materiali a grana grossa, si è stimato il valore del modulo di Young ( $E_0$ ) utilizzando da teoria dell'elasticità a partire dal valore del modulo  $G_0$ . Il valore del modulo di Young operativo ( $E_{op}$ ) per il calcolo di cedimenti di fondazioni superficiali e rilevati è stato calcolato ipotizzando valori del decadimento del modulo dell'ordine di 1/5 di quello iniziale per gli strati superficiali e dell'ordine di 1/3 di quello iniziale per gli strati più in profondità, dove le deformazioni attese sono minori.

Sulla base di questi criteri, i parametri geotecnici sono stati determinati mediante l'interpretazione dei risultati delle prove di sito e di laboratorio:

- Distribuzione delle granulometrie da analisi di laboratorio (v. Figura 4);
- Valori  $N_{SPT}$  da prove SPT (v. Figura 5);
- Densità relativa stimata da prove SPT (v. Figura 6);
- Angolo di attrito stimato da prove SPT (v. Figura 7);
- Velocità delle onde di taglio stimata da prove in sito (v. Figura 8);
- Modulo di taglio alle piccole deformazioni valutati a partire dai valori stimati di  $V_s$  (v. Figura 9)

## AV/AC VERONA VICENZA

### RI02 da pk 0+174,45 a pk 0+475

Contributi granulometrici (%)

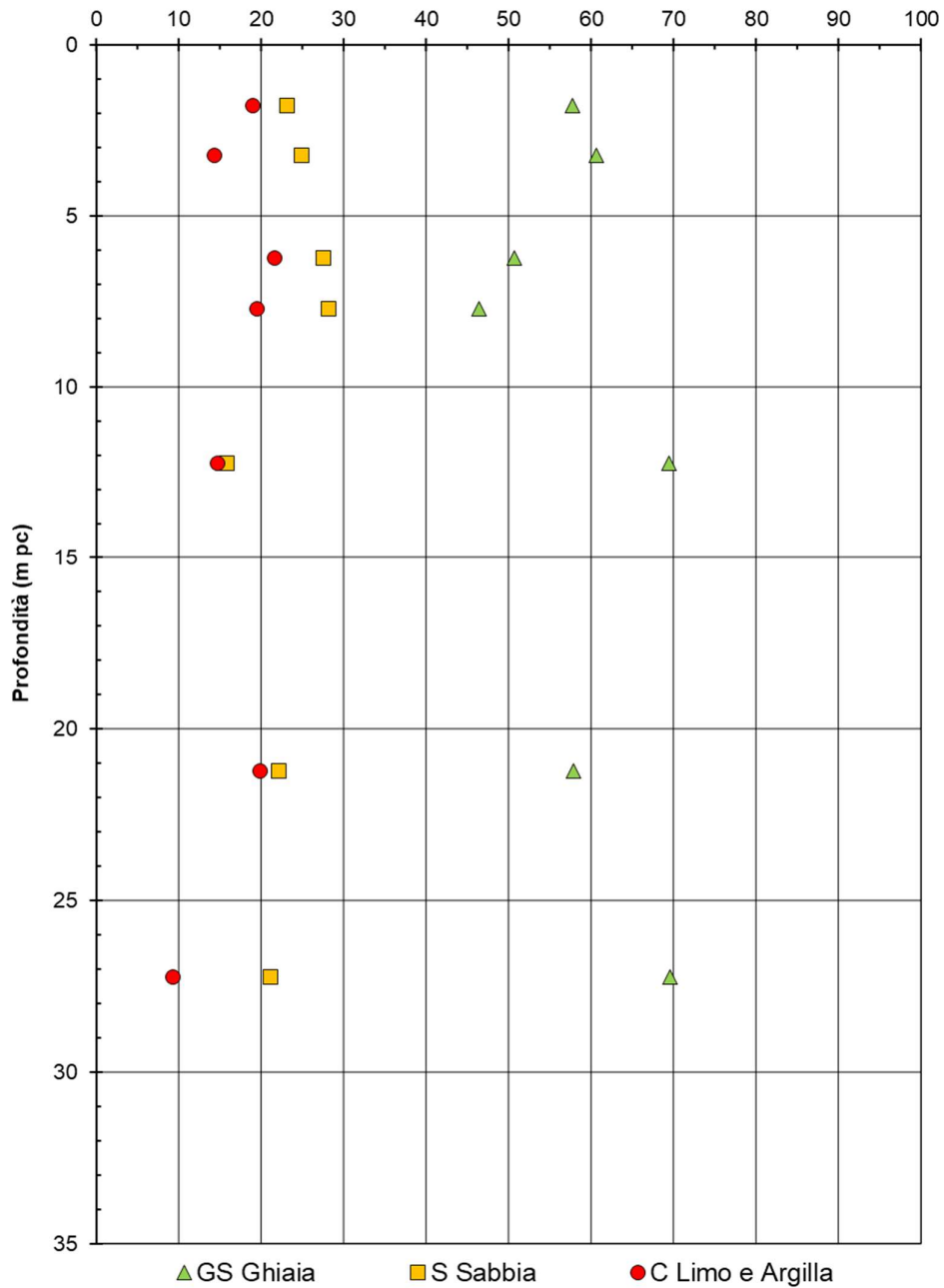


Figura 4 – Sintesi analisi granulometriche tra pk 0+174,45 a pk 0+475

**AV/AC VERONA VICENZA**

**RI02 da pk 0+174,45 a pk 0+475**

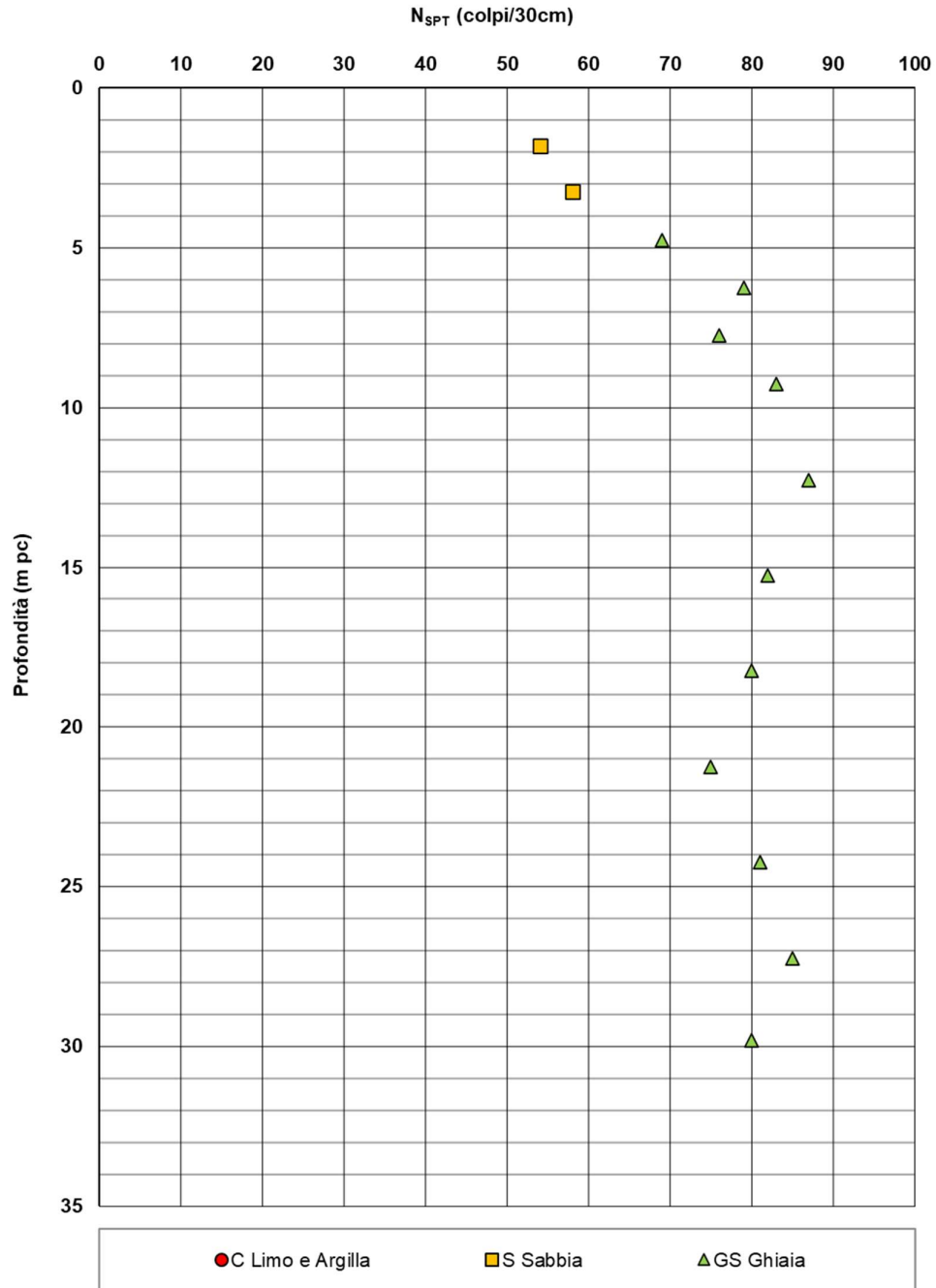


Figura 5 – Esito delle prove SPT tra pk pk 0+174,45 a pk 0+475

**AV/AC VERONA VICENZA**

**RI02 da pk 0+174,45 a pk 0+475**

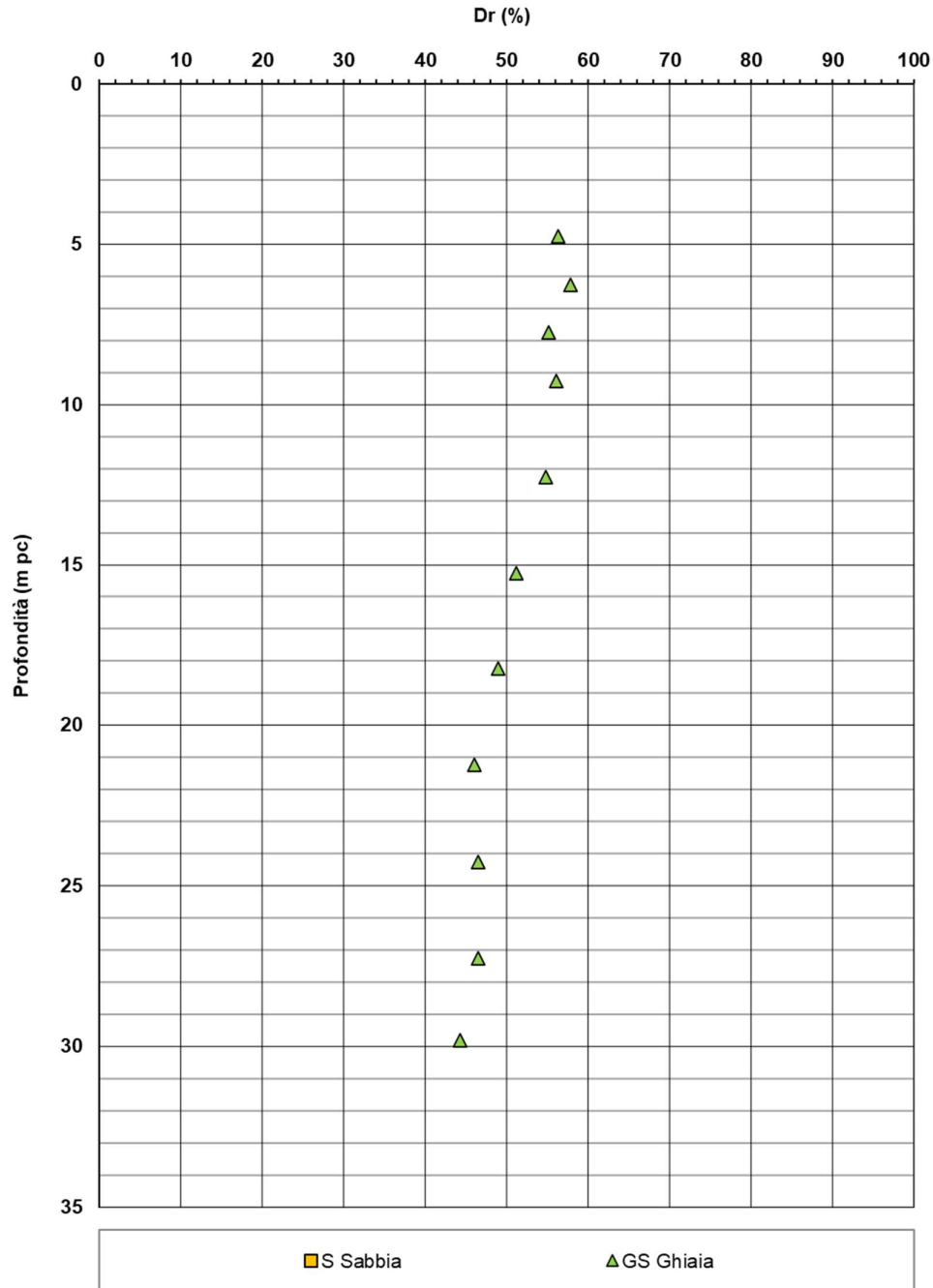


Figura 6 – Densità relativa da prove SPT tra pk 0+174,45 a pk 0+475

## AV/AC VERONA VICENZA

RI02 da pk 0+174,45 a pk 0+475

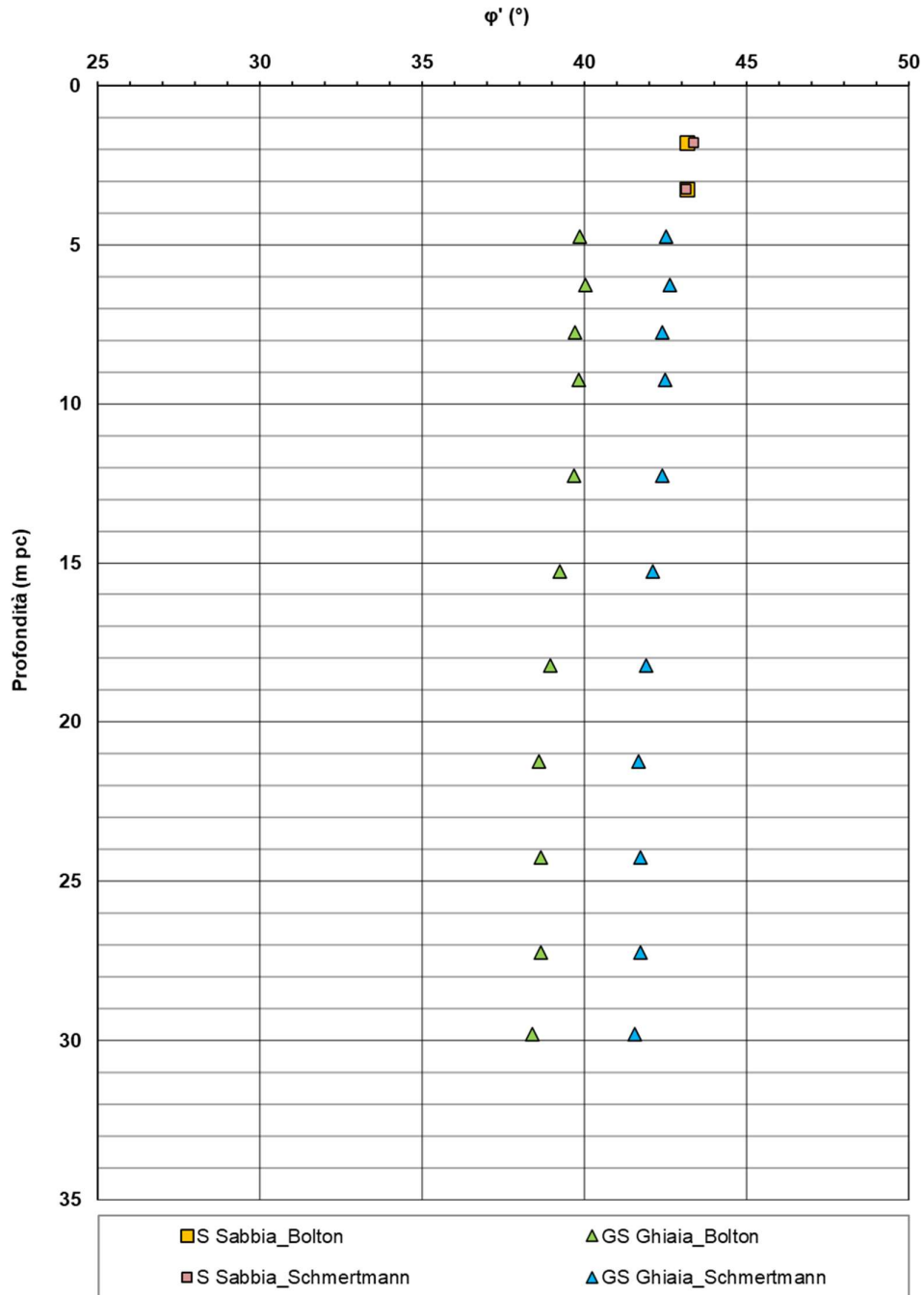


Figura 7 – Angoli di attrito da prove SPT tra pk 0+174,45 a pk 0+475

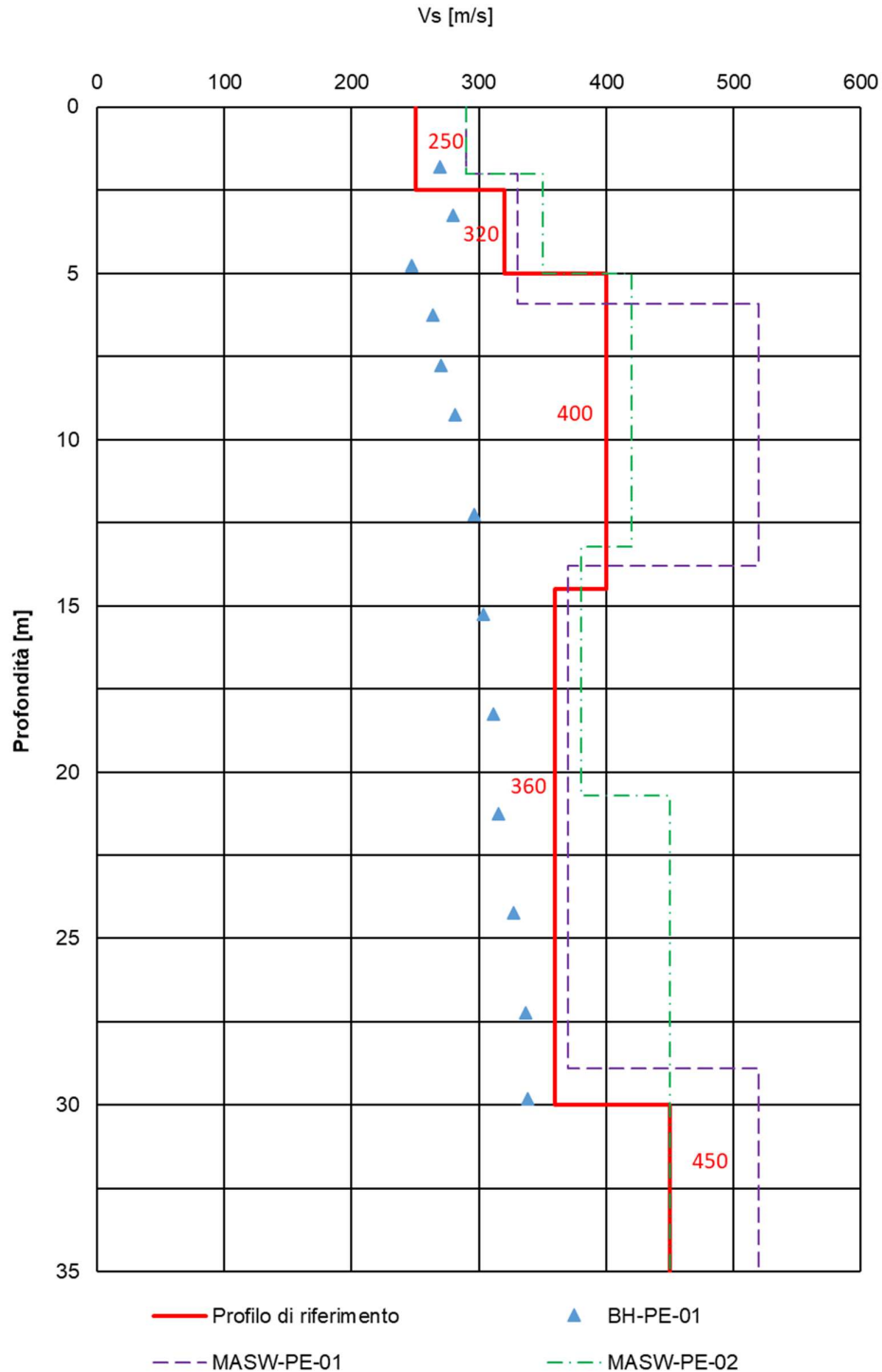


Figura 8 – Profilo di Vs di riferimento, a confronto con dati di correlazioni con SPT e prove geofisiche tipo MASW, tra pk 0+174,45 a pk 0+475

**AV/AC VERONA VICENZA**

**RI02 da pk 0+174,45 a pk 0+475**

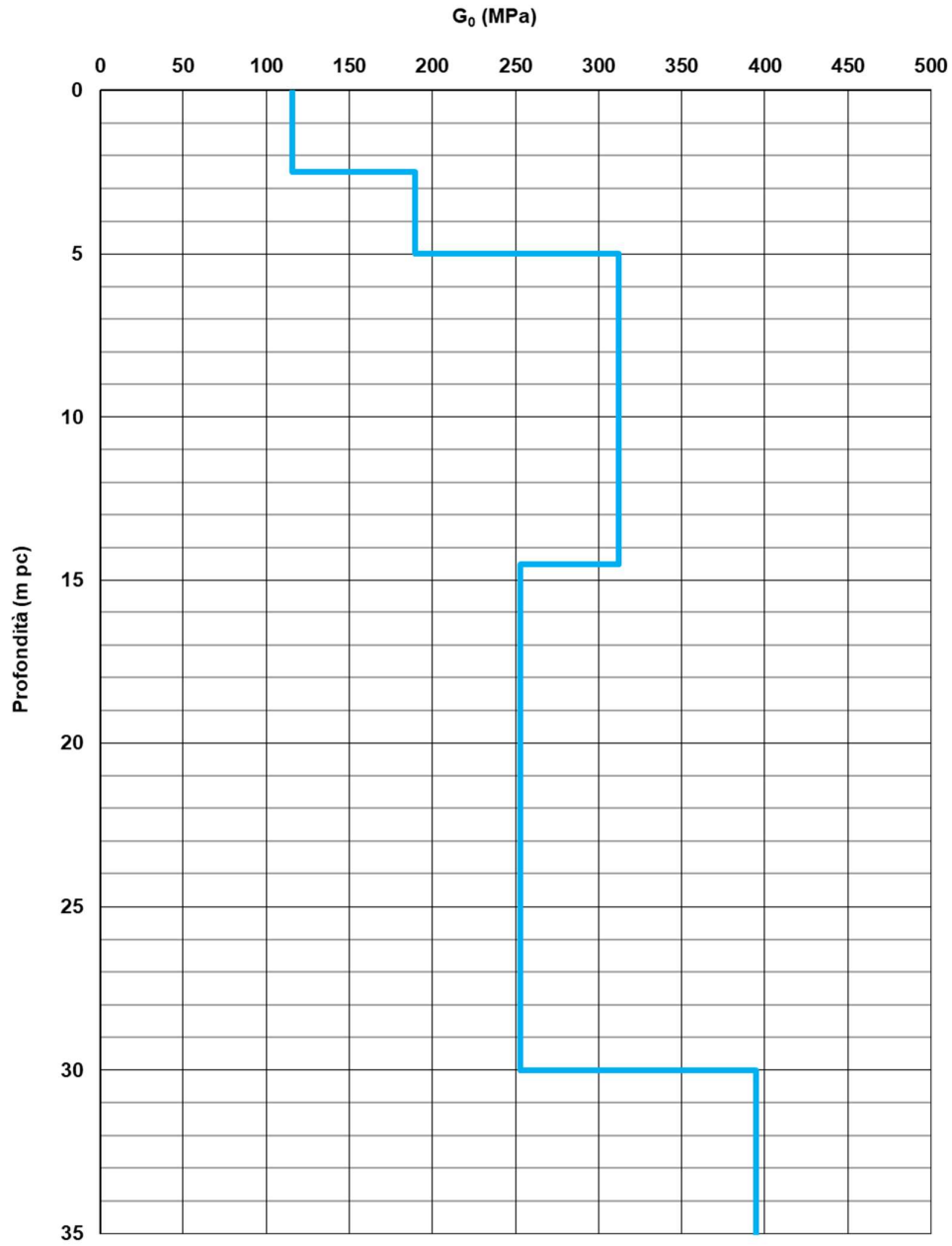




Figura 9 – Modulo di taglio  $G_0$  tra pk 0+174,45 a pk 0+475



GENERAL CONTRACTOR 	ALTA SORVEGLIANZA 			
Rilevato ferroviario AV da pk 0+174,45 a pk 0+475,00 Relazione Geotecnica	Progetto IN17	Lotto 11	Codifica EI2RBRI0200001B	Foglio 17 di 36

### 4.3 Sintesi del modello geotecnico di riferimento

Sulla base di quanto esposto al punto precedente, il modello geotecnico di riferimento per la tratta in esame è riportato in Tabella 2.



*Tabella 2 – Modello geotecnico di riferimento*

Unità	da m pc*	a m pc*	$\gamma$ kN/m <sup>3</sup>	$\phi_k$ °	$c_k'$ kPa	$c_{u,k}$ kPa	$G_0$ MPa	$E'_{op}$ MPa
1	0	5	-	35	-	-	-	40
6	5	30	19.5	39	0	-	120-250**	60-130**

\* quota piano campagna = 57,0 m s.l.m.

\*\* valori crescenti con la profondità

Per la falda si faccia riferimento a quanto detto al paragrafo 4.1.2.

GENERAL CONTRACTOR 	ALTA SORVEGLIANZA 			
Rilevato ferroviario AV da pk 0+174,45 a pk 0+475,00 Relazione Geotecnica	Progetto IN17	Lotto 11	Codifica EI2RBRI0200001B	Foglio 18 di 36

## 5 CARATTERISTICHE SISMICHE E SUSCETTIBILITÀ ALLA LIQUEFAZIONE

### 5.1 Sollecitazione sismica di progetto

#### 5.1.1 Vita Nominale

La vita nominale di un'opera  $V_N$  è intesa come il numero di anni nel quale la stessa, purché soggetta alla manutenzione ordinaria, deve potere essere usata per lo scopo al quale è destinata.

Coerentemente a quanto previsto dal MdP (Doc. rif. [19] e [20]), l'opera in oggetto viene inserita nella tipologia di costruzione con  $V_N = 100$  anni.

Tabella 3 – Vita nominale delle infrastrutture ferroviarie

<i>Opere nuove su infrastrutture ferroviarie progettate con le norme vigenti prima del DM 14.01.2008 a velocità convenzionale (<math>V &lt; 250</math> km/h)</i>	$V_N = 50$ anni
<i>Altre opere nuove a velocità <math>V &lt; 250</math> km/h</i>	$V_N = 75$ anni
<i>Altre opere nuove a velocità <math>V \geq 250</math> km/h</i>	$V_N = 100$ anni
<i>Opere di grandi dimensioni: ponti e viadotti con campate di luce maggiore di 150 m</i>	$V_N \geq 100$ anni

#### 5.1.2 Classe d'uso

In presenza di azioni sismiche, con riferimento alle conseguenze di un'interruzione di operatività o di un eventuale collasso, l'opera appartiene alla seguente classe d'uso III (Tabella §2.5.1.1.2.1 di RFI DTC SI PS MA IFS 001 B):

- I *Costruzioni con presenza solo occasionale di persone, edifici agricoli.*
- II *Costruzioni il cui uso preveda normali affollamenti, senza contenuti pericolosi per l'ambiente e senza funzioni pubbliche e sociali essenziali. Industrie con attività non pericolose per l'ambiente. Ponti, opere infrastrutturali, reti viarie non ricadenti in Classe d'uso III o in Classe d'uso IV, reti ferroviarie la cui interruzione non provochi situazioni di emergenza. Dighe il cui collasso non provochi conseguenze rilevanti.*
- III *Costruzioni il cui uso preveda affollamenti significativi. Industrie con attività pericolose per l'ambiente. Reti viarie extraurbane non ricadenti in Classe d'uso IV. Ponti e reti ferroviarie la cui interruzione provochi situazioni di emergenza. Dighe rilevanti per le conseguenze di un loro eventuale collasso.*
- IV *Costruzioni con funzioni pubbliche o strategiche importanti, anche con riferimento alla gestione della protezione civile in caso di calamità. Industrie con attività particolarmente pericolose per l'ambiente. Reti viarie di tipo A o B, di cui al DM 5/11/2001, n. 6792, "Norme funzionali e geometriche per la costruzione delle strade", e di tipo C quando appartenenti ad itinerari di collegamento tra capoluoghi di provincia non altresì serviti da strade di tipo A o B. Ponti e reti ferroviarie di importanza critica per il mantenimento delle vie di comunicazione, particolarmente dopo un evento sismico. Dighe connesse al funzionamento di acquedotti e a impianti di produzione di energia elettrica.*

Il coefficiente d'uso è pari a 1.50, coerentemente a quanto indicato nella Tab. 2.4.II delle NTC.



GENERAL CONTRACTOR 	ALTA SORVEGLIANZA 			
Rilevato ferroviario AV da pk 0+174,45 a pk 0+475,00 Relazione Geotecnica	Progetto IN17	Lotto 11	Codifica EI2RBRI0200001B	Foglio 19 di 36

Tabella 4 – Valori del coefficiente di uso  $C_u$

Classe d'uso	I	II	III	IV
Coefficiente d'uso	0.7	1.0	1.5	2.0

### 5.1.3 Periodo di riferimento per l'azione sismica

Il periodo di riferimento  $V_R = V_N \cdot C_U = 100 \cdot 1.5 = 150$  anni.

### 5.1.4 Categorie di Sottosuolo



Ai fini della definizione dell'azione sismica di progetto, si rende necessario valutare l'effetto della risposta sismica locale. Per la definizione dell'azione sismica si può fare riferimento a un approccio semplificato, che si basa sull'individuazione delle categorie di sottosuolo di riferimento in accordo a quanto indicato nel § 3.2.2 delle NTC2018. Come discusso nella Relazione sulla modellazione sismica (Doc. rif. [4]) e nelle Planimetrie con classificazione sismica dei terreni (Doc. rif. [5]), i terreni di progetto possono essere caratterizzati come appartenenti a terreni di Categoria C:

- A *Ammassi rocciosi affioranti o terreni molto rigidi caratterizzati da valori di velocità delle onde di taglio superiori a 800 m/s, eventualmente comprendenti in superficie terreni di caratteristiche meccaniche più scadenti con spessore massimo pari a 3 m.*
- B *Rocce tenere e depositi di terreni a grana grossa molto addensati o terreni a grana fina molto consistenti, caratterizzati da un miglioramento delle proprietà meccaniche con la profondità e da valori di velocità equivalente compresi tra 360 m/s e 800 m/s*
- C *Depositi di terreni a grana grossa mediamente addensati o terreni a grana fina mediamente consistenti con profondità del substrato superiori a 30 m, caratterizzati da un miglioramento delle proprietà meccaniche con la profondità e da valori di velocità equivalente compresi tra 180 m/s e 360 m/s.*
- D *Depositi di terreni a grana grossa scarsamente addensati o di terreni a grana fina scarsamente consistenti, con profondità del substrato superiori a 30 m, caratterizzati da un miglioramento delle proprietà meccaniche con la profondità e da valori di velocità equivalente compresi tra 100 e 180 m/s.*
- E *Terreni con caratteristiche e valori di velocità equivalente riconducibili a quelle definite per le categorie C o D, con profondità del substrato non superiore a 30 m.*

### 5.1.5 Condizioni topografiche

In condizioni topografiche superficiali semplici si può adottare la classificazione proposta nelle NTC, secondo la quale le categorie individuate si riferiscono a configurazioni geometriche prevalentemente bidimensionali, creste o dorsali allungate, e devono essere considerate nella definizione dell'azione sismica se di altezza maggiore di 30 m. L'area interessata risulta classificabile come **T1**.

- T1 *Superficie pianeggiante, pendii e rilievi isolati con inclinazione media  $i \leq 15^\circ$ .*
- T2 *Pendii con inclinazione media  $i > 15^\circ$ .*
- T3 *Rilievi con larghezza in cresta molto minore che alla base e inclinazione media  $15^\circ \leq i \leq 30^\circ$ .*
- T4 *Rilievi con larghezza in cresta molto minore che alla base e inclinazione media  $i > 30^\circ$ .*

<p>GENERAL CONTRACTOR</p> 	<p>ALTA SORVEGLIANZA</p> 			
<p>Rilevato ferroviario AV da pk 0+174,45 a pk 0+475,00 Relazione Geotecnica</p>	<p>Progetto IN17</p>	<p>Lotto 11</p>	<p>Codifica EI2RBRI0200001B</p>	<p>Foglio 20 di 36</p>

### 5.1.6 Accelerazione sismica di riferimento

Di seguito si riportano i valori dei parametri spettrali dipendenti dal sito dell'opera in oggetto:

$a_g$ (g) (SLV)	0.233
Coefficiente di amplificazione stratigrafica $S_s$	1.360
Coefficiente di amplificazione topografica $S_t$	1.0
Accelerazione massima attesa al suolo $a_{max}$ (g) ( $a_{max} = S \cdot a_g = S_s \cdot S_t \cdot a_g$ )	0.317

## 5.2 Suscettibilità alla liquefazione

Lo studio della suscettibilità alla liquefazione dei terreni identificati nell'area di realizzazione del rilevato è stato eseguito nel rispetto della normativa vigente (Doc. rif. [15]).



Nello specifico, verificata la non rispondenza ai criteri di esclusione di cui alle NTC2008, la determinazione del potenziale di liquefazione è stata condotta per il periodo di ritorno dell'azione sismica corrispondente a quello dello stato limite ultimo di verifica (SLV) utilizzando i valori di pericolosità sismica al sito riportati al par. 5.1.6 relativi allo SLV (opere di linea ad esclusione delle gallerie artificiali,  $V_R = 150$  anni).

Il valore di magnitudo necessario per la valutazione della pericolosità a liquefazione è stato determinato tenendo conto di tre differenti "fonti di dati" alla base delle definizioni dell'azione sismica di NTC2008, ossia:

- L'analisi di disaggregazione dei valori di pericolosità sismica (accelerazione su suolo rigido orizzontale) di cui alle NTC2008, fornita quale elaborazione aggiuntiva direttamente dal progetto INGV-DPC S1.
- Analisi dei dati di magnitudo da terremoti storici aventi epicentro entro una distanza di 30Km dal tracciato di progetto, sulla base delle informazioni fornite dal Catalogo Parametrico dei Terremoti Italiani CPTI11.
- Magnitudo attesa per un periodo di ritorno pari almeno a 975 anni valutata sulla base del modello delle zone sismogenetiche ZS9 (riportato in Figura 1), alla base delle mappe di pericolosità sismica del territorio italiano allegate alle NTC2008, e sulla distribuzione dei valori di magnitudo associati ai massimi terremoti storici.

Facendo sempre riferimento al Doc. rif. [4] per i dettagli dell'analisi sopra descritta, e in continuità con le considerazioni esposte in sede di Progetto Definitivo, è stato considerato ragionevole assumere per il tracciato di progetto un valore di magnitudo di riferimento da adottare nelle verifiche a liquefazione di cui ai paragrafi successivi pari a 6.0.

La valutazione di suscettibilità alla liquefazione è stata quindi condotta in accordo al "metodo semplificato" originariamente proposto da Seed e Idriss (1971,1982) e da Seed et al. (1985), confrontando lo sforzo di taglio ciclico normalizzato rispetto alla pressione verticale in sito (CSR) e la resistenza normalizzata del terreno al taglio ciclico (CRR) così definiti:

GENERAL CONTRACTOR 	ALTA SORVEGLIANZA 			
Rilevato ferroviario AV da pk 0+174,45 a pk 0+475,00 Relazione Geotecnica	Progetto IN17	Lotto 11	Codifica EI2RBRI0200001B	Foglio 21 di 36

$$CSR = \frac{\tau_{media}}{\sigma'_{v0}} \quad \text{Rapporto di tensione ciclica}$$

$$CRR = \frac{\tau_l}{\sigma'_{v0}} \quad \text{Rapporto di resistenza ciclica}$$

Lo sforzo di taglio indotto ad ogni profondità in un terreno a superficie piana durante l'evento sismico è dovuto essenzialmente alla propagazione delle onde di taglio polarizzate orizzontalmente. In accordo al metodo utilizzato, la tensione di taglio ciclico indotta dallo scuotimento sismico (sforzo di taglio ciclico normalizzato CSR) viene approssimata da un valore efficace dell'accelerazione pari al 65% della accelerazione di picco  $a_{max}$  come segue:

$$CSR = \frac{\tau_c}{\sigma'_{vo}} = 0.65 \frac{\tau_{max}}{\sigma'_{vo}} = 0.65 \frac{a_{max}}{g} \frac{\sigma_{vo}}{\sigma'_{vo}} r_d$$

dove:

$a_{max}$             accelerazione di picco al sito

$g$                 accelerazione di gravità

$\tau_c$               valore rappresentativo dello sforzo di taglio ciclico

$\sigma_{vo}$           tensione verticale alla profondità in esame, in termini di tensioni totali

$\sigma'_{vo}$           tensione verticale alla profondità in esame, in termini di tensioni efficaci



$r_d$               coefficiente di riduzione dello sforzo di taglio ciclico in funzione della profondità da piano campagna, calcolato come segue in accordo a Blake (Blake, 1996, riportato da Youd et al., 2001):

$$r_d = \frac{1 - 0.4113 \cdot z^{0.5} + 0.04052 \cdot z + 0.001753 \cdot z^{1.5}}{1 - 0.4177 \cdot z^{0.5} + 0.05729 \cdot z - 0.006205 \cdot z^{1.5} + 0.00121 \cdot z^2}$$

CSR può essere messo in relazione al numero di cicli significativi dell'azione sismica, funzione della magnitudo  $M$ . Per  $M \neq 7.5$  è necessario introdurre un fattore di scala della magnitudo MSF così definito:

$$MSF = \frac{CSR_M}{(CSR)_{M=7.5}} = \left( \frac{N_{M=7.5}}{N_M} \right)^b$$

dove  $CSR_M$  e  $N_M$  rappresentano i valori di CSR e numero di cicli equivalenti per il valore di magnitudo di progetto, mentre  $(CSR)_{M=7.5}$  e  $N_{M=7.5}$  sono riferiti all'evento con  $M=7.5$ .

GENERAL CONTRACTOR 	ALTA SORVEGLIANZA 			
Rilevato ferroviario AV da pk 0+174,45 a pk 0+475,00 Relazione Geotecnica	Progetto IN17	Lotto 11	Codifica EI2RBRI0200001B	Foglio 22 di 36

Nel presente studio, in accordo sia alle prescrizioni dell'Eurocodice 8, sia a quanto suggerito da Youd et al., 2001 e Idriss e Boulanger (2004) si è assunto per  $M = 6.0 - MSF = 2$ .

Il rapporto di resistenza ciclica CRR è stato valutato mediante relazioni empiriche che correlano la sollecitazione sismica ai risultati di prove in sito di tipo SPT o CPT.

### 5.2.1 CRR da correlazione su prove CPT

Per la stima del CRR sulla base di prove in-situ o di laboratorio sono disponibili diverse procedure. La procedura basata sui risultati di prove CPT è piuttosto ben consolidata e diffusa e viene qui utilizzata ai fini di una analisi del potenziale di liquefazione, considerando i dati di prove in sito disponibili allo stato attuale delle conoscenze.

Il procedimento utilizzato per la stima di CRR a partire dai risultati di prove CPT si basa sulla relazione riportata in Figura 10: la curva in figura si riferisce alla resistenza penetrometrica normalizzata  $q_{c1N}$  per le sabbie pulite che può essere espressa come segue (Robertson & Wride, 1998, come riportato da Youd et al., 2001):

$$\text{per } (q_{c1N})_{cs} < 50 \quad CRR_{7.5} = 0.833 \left[ \frac{(q_{c1N})_{cs}}{1000} \right] + 0.05$$

$$\text{per } 50 \leq (q_{c1N})_{cs} < 160 \quad CRR_{7.5} = 93 \left[ \frac{(q_{c1N})_{cs}}{1000} \right]^3 + 0.08$$

In Figura 10, la resistenza alla punta  $q_c$  è normalizzata rispetto al valore di pressione atmosferica ( $p_a = 100 \text{ kPa}$ ) e corretta ( $q_{c1N}$ ) mediante la seguente relazione:

$$q_{c1N} = (q_c / P_a) (P_a / \sigma'_{vo})^n$$

dove  $\sigma'_{vo}$  è la tensione verticale efficace alla profondità in e l'esponente "n" varia da 0.5 per i materiali a grana grossa a 1 per i materiali a grana fine.



La natura dei materiali ed il relativo valore dell'esponente "n" sono determinati con procedura iterativa in relazione al valore del parametro  $I_c$ , indice del tipo di terreno, determinato come:

$$I_c = \left[ (3.47 - \log Q)^2 + (1.22 + \log F)^2 \right]^{0.5}$$

dove:

$$Q = \left( \frac{q_c - \sigma_{vo}}{P_a} \right) \cdot \left( \frac{P_a}{\sigma'_{vo}} \right)^n$$

$$F = \frac{f_s}{q_c - \sigma_{vo}} \times 100$$

GENERAL CONTRACTOR 	ALTA SORVEGLIANZA 			
Rilevato ferroviario AV da pk 0+174,45 a pk 0+475,00 Relazione Geotecnica	Progetto IN17	Lotto 11	Codifica EI2RBRI0200001B	Foglio 23 di 36

Tanto maggiore è il valore di  $I_c$ , tanto maggiore sarà il contenuto presunto di fini. Nell'analisi condotta il valore  $I_c = 2.6$  è stato considerato lo spartiacque tra terreni con contenuto di fine inferiore a 35% e comportamento assimilabile a quello delle sabbie e terreni con contenuto di fine superiore al 35% e comportamento più simile a quello delle argille. Nel primo caso l'esponente  $n$  nella formula con cui viene determinato il parametro  $Q$  è pari a 0.5, nel secondo è pari a 1. Come detto, i valori effettivi di  $n$  e  $I_c$  sono determinati al termine di una procedura iterativa, ipotizzando in prima istanza  $n = 1$ . Se  $I_c$  così calcolato è superiore a 2.6, il risultato è consolidato. In caso contrario, il calcolo viene ripetuto ipotizzando  $n = 0.5$ . Se in questo secondo calcolo  $I_c$  è ancora inferiore a 2.6, i nuovi valori di  $n$  e  $I_c$  sono confermati. In caso contrario si è in presenza di terreni intermedi e il calcolo finale viene svolto con  $n = 0.75$ .

Il valore della resistenza penetrometrica normalizzata  $q_{c1N}$  è stato riportato ad un valore equivalente per le sabbie pulite attraverso la seguente relazione:

$$q_{c1Ncs} = q_{c1N} \cdot k_c$$

dove  $K_c$  è definito dalle seguenti equazioni (Robertson & Wride, 1998):

$$\text{for } I_c \leq 1.64 \quad K_c = 1.0$$

$$\text{for } I_c > 1.64 \quad K_c = -0.403(I_c)^4 + 5.581(I_c)^3 - 21.63(I_c)^2 + 33.75(I_c) - 17.88$$

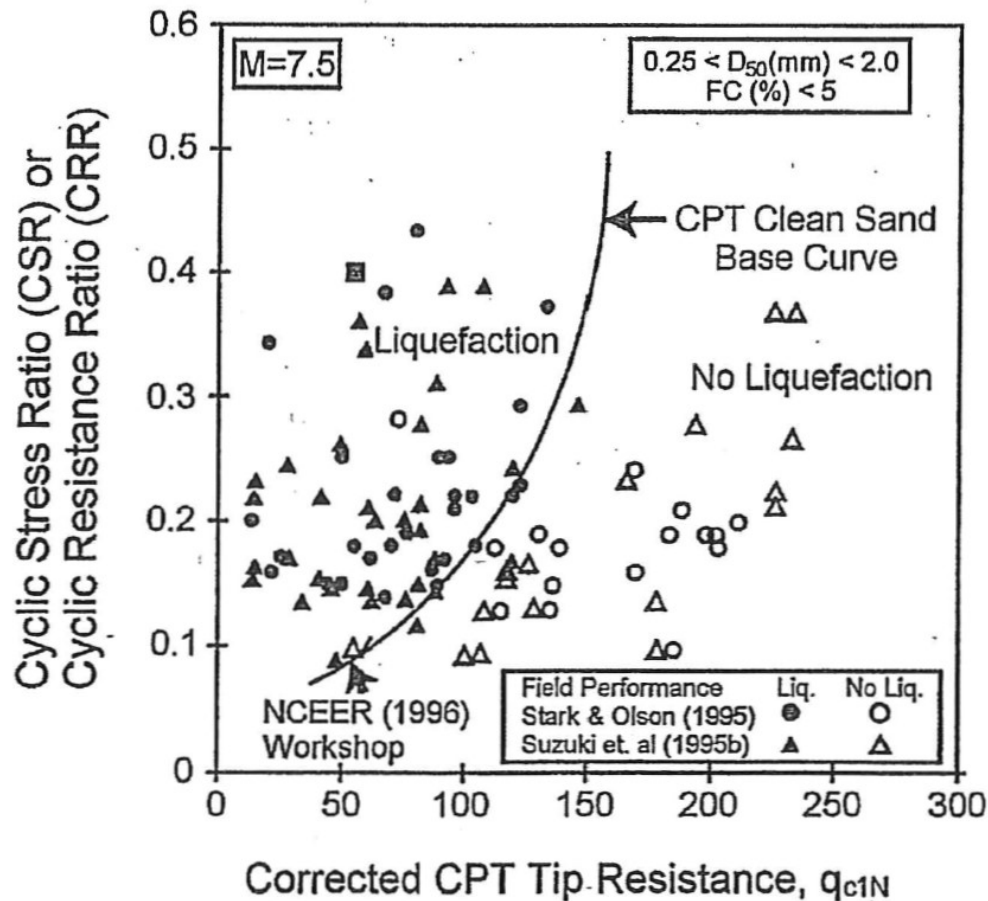


Figura 10: Relazione tra sforzo di taglio ciclico a liquefazione e valori corretti di resistenza alla punta  $q_{c1N}$  – sisma di riferimento Magnitudo = 7.5 (Robertson & Wride, 1998)

### 5.2.2 CRR da correlazione su prove SPT

Il procedimento utilizzato per la stima di CRR a partire dai risultati di prove SPT si basa sulla relazione riportata in Figura 11, originariamente proposta da Seed e Idriss (1971,1982) e da Seed et al. (1985), e successivamente confermata da Youd et al. (2001).



In Figura 11, i risultati delle prove SPT sono espressi in termini di numero di colpi corretti  $N_{1(60)}$ , ossia i valori sono normalizzati per una pressione verticale efficace pari a 100 kPa e corretti per un valore standard di energia trasmessa (60% del valore nominale) come segue:

$$(N_1)_{60} = N_{SPT} C_N C_E C_B C_R C_S$$

dove:

$C_N$  = coefficiente correttivo che tiene conto dell'influenza della pressione verticale efficace. In letteratura sono presenti diversi metodi per la valutazione del coefficiente correttivo  $C_N$ . Qui è stata applicata la seguente relazione



GENERAL CONTRACTOR 	ALTA SORVEGLIANZA 			
Rilevato ferroviario AV da pk 0+174,45 a pk 0+475,00 Relazione Geotecnica	Progetto IN17	Lotto 11	Codifica EI2RBRI0200001B	Foglio 25 di 36

proposta da Liao e Whitman (1986):

$$C_N = \left( \frac{P_a}{\sigma'_{v0}} \right)^{0.5} \leq 1.7$$

in cui  $P_a$  è la pressione atmosferica, pari a 100kPa, e  $\sigma'_{v0}$  è la tensione verticale in sito, in termini di sforzi efficaci.

$C_E$  = coefficiente correttivo che va a considerare il rendimento energetico dell'attrezzatura e riconduce le misure ad un rendimento energetico del 60 % e può essere valutato nel modo seguente:

$$C_E = \frac{ER_m}{60}$$

in cui  $ER_m$  è il fattore di rendimento (espresso in %) del trasferimento dell'energia del maglio all'attrezzo campionario, relativo alla macchina utilizzata per fare la prova; considerando che la configurazione di prova normalmente adoperata in Italia ha un rendimento energetico del 60 %, tale coefficiente è stato posto pari ad 1.

I coefficienti  $C_B$  (fattore correttivo per le dimensioni del foro di sondaggio),  $C_R$  (fattore correttivo per la lunghezza delle aste della macchina esecutrice) e  $C_S$  (fattore correttivo per il tipo di attrezzo campionario) sono stati assunti pari ad 1 dato che le prove sono state eseguite sulla base delle raccomandazioni fornite dall'AGI (1977).

Sempre in Figura 11, viene riportato il valore di CSR calcolato ed i corrispondenti valori di  $N_{1(60)}$  da siti in cui sono stati osservati o meno gli effetti della liquefazione per eventi simili avvenuti in passato, con Magnitudo pari  $M = 7.5$ . Le corrispondenti curve CRR sono state determinate all'interno del grafico in modo da separare chiaramente i dati corrispondenti all'avvenuta liquefazione da quelli per i quali non è stato osservato il fenomeno in esame.

Le curve sono valide per eventi simili di Magnitudo pari a 7.5, per cui è necessario introdurre un fattore di scala (MSF) per adattare le curve di CRR alla magnitudo di riferimento per il caso in esame, come indicato in precedenza.

Si può osservare dalla



Figura 11 come curve diverse siano state sviluppate per terreni aventi diverso contenuto di fini, a partire dalla curva di riferimento corrispondente alla sabbia pulita ( $FC < 5\%$ ).

La curva di riferimento per sabbie pulite è descritta dalla seguente equazione (Rauch, 1998, come riportato da Youd et al., 2001)

$$CRR_{7.5} = \frac{1}{34 - (N_1)_{60}} + \frac{(N_1)_{60}}{135} + \frac{50}{[10 \cdot (N_1)_{60} + 45]^2} - \frac{1}{200}$$

L'equazione è valida per  $N_{1(60)} < 30$ . Nel caso in cui sia  $N_{1(60)} \geq 30$ , le sabbie pulite sono classificate come non liquefacibili, a causa della loro elevata densità.

L'equazione che segue (Idriss e Seed, come riportato da Youd et al. 2001) viene utilizzata per la correzione di valori

GENERAL CONTRACTOR 	ALTA SORVEGLIANZA 			
Rilevato ferroviario AV da pk 0+174,45 a pk 0+475,00 Relazione Geotecnica	Progetto IN17	Lotto 11	Codifica EI2RBRI0200001B	Foglio 26 di 36

di  $N_{1(60)}$  ai valori corrispondenti per sabbia pulita  $N_{1(60)cs}$ :

$$(N_1)_{60cs} = \alpha + \beta \cdot (N_1)_{60}$$

In cui:

$$\alpha = 0 \text{ per } FC < 5\%$$

$$\alpha = \exp [1.76 - (190/FC^2)] \text{ per } 5\% < FC < 35\%$$

$$\alpha = 5 \text{ per } FC \geq 35\%$$

$$\beta = 1 \text{ per } FC < 5\%$$

$$\beta = [0.99 + (FC \cdot 1.5/1000)] \text{ per } 5\% < FC < 35\%$$

$$\beta = 1.2 \text{ per } FC \geq 35\%$$

La resistenza alla liquefazione aumenta meno che proporzionalmente al crescere della tensione di confinamento. Una rappresentazione di tale relazione è stata proposta da Hynes e Olsen (1999) e riportata da Youd et al. (2001), elaborata sulla base dei risultati di prove cicliche in laboratorio. In particolare gli autori raccomandano di utilizzare il seguente coefficiente di correzione:

$$k_\sigma = \left( \frac{\sigma'_{v0}}{p_a} \right)^{(f-1)} \leq 1$$

dove:

$\sigma'_{v0}$  = tensione verticale efficace

$p_a$  = pressione atmosferica di riferimento

$f$  = fattore che dipende dalla densità relative del materiale in sito.

In accordo a Youd et al. (2001) il fattore "f" si può stimare come segue, sia per sabbie pulite o limose e per ghiaie:

$$40\% < DR < 60\% \quad f = 0.7 \div 0.8$$

$$60\% < DR < 80\% \quad f = 0.6 \div 0.7$$

Quando possibile, il contenuto di fini è stato determinato sulla base dei risultati delle rispettive granulometrie ottenute da laboratorio per ogni prova SPT. Nel caso quest'ultime non erano disponibili, facendo riferimento alla stratigrafia locale, si è ipotizzato un valore di contenuto di fini pari al 5% per i materiali sabbioso/ghiaiosi, mentre per i terreni limosi/argillosi è stato ipotizzato un contenuto di fini pari al 30-40%.

Pertanto, in accordo a Youd et al. (2001):

$$FL = (CRR_{7.5}/CSR) MSF k_\sigma$$

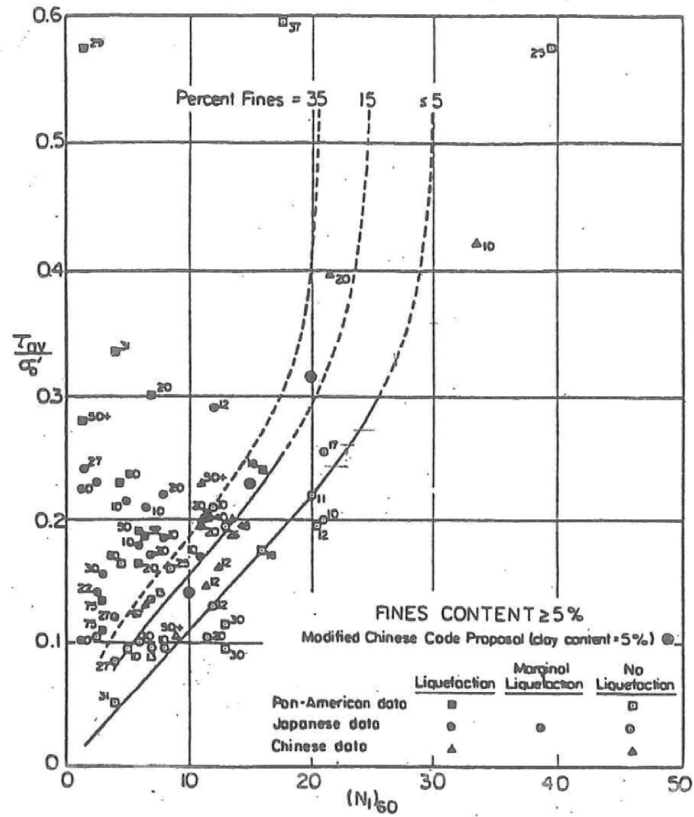
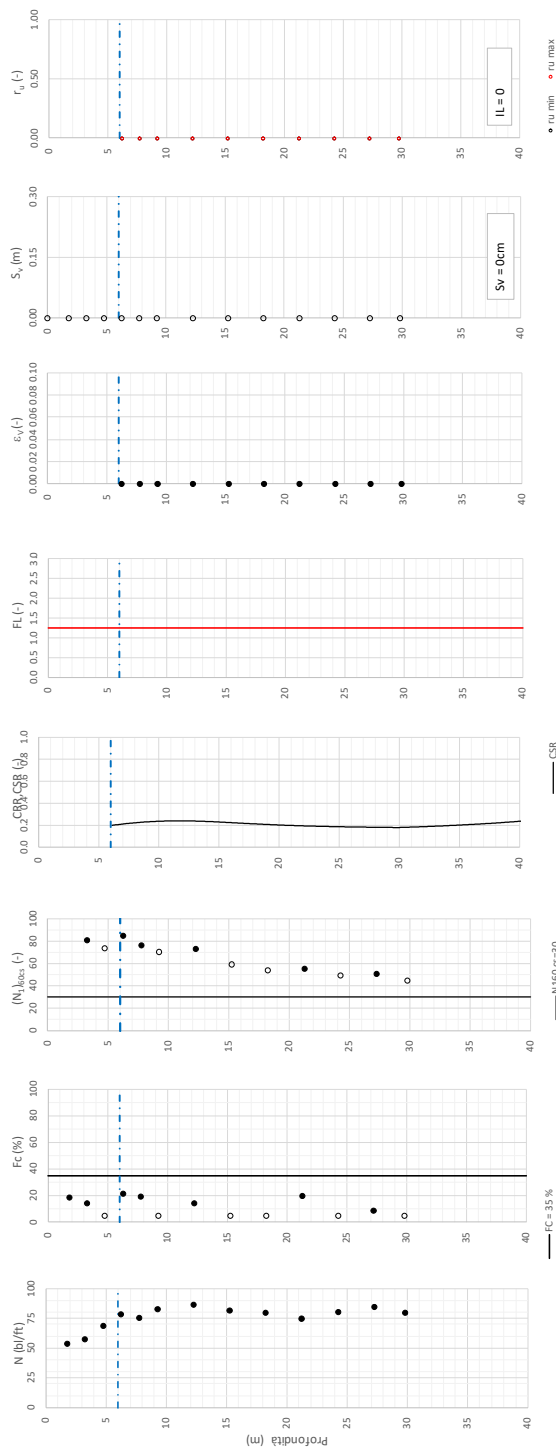


Figura 11: Relazione tra sforzo di taglio ciclico a liquefazione e  $N_{1(60)}$  – sisma di riferimento Magnitudo = 7.5 (Seed et al., 1985).

I risultati delle verifiche a liquefazione (cfr. Figura 12) indicano come non si evidenzino rischi di potenziale liquefazione nella porzione di tracciato interessata dal rilevato RI02, in linea con gli stati di addensamento e granulometrie descritte in precedenza.

**Tratta AC/AV Verona-Padova - Sub Tratta Verona-Vicenza - Lotto 1 - Prova BH-PE-01 Pr. 0+173**  
 $a_{max} = 0.317g$ ;  $M_{calc} = 6$  MSF = 2 Metodo NCEER 1996 - 1998 - 2001  
 Altezza rilevato = 0m



Foglio verifica di liquefazione pag. n. 102

Figura 12 – Verifica Liquefazione da risultati SPT BH-PE-01

GENERAL CONTRACTOR





ALTA SORVEGLIANZA



Rilevato ferroviario AV da pk 0+174,45 a pk 0+475,00 Relazione Geotecnica	Progetto	Lotto	Codifica	Foglio
	IN17	11	EI2RBRI0200001B	29 di 36

## 6 VERIFICA GEOTECNICA DEL RILEVATO

Per le ragioni riportate nell'introduzione, non si sono eseguite le verifiche geotecniche SLU e SLE.

<p>GENERAL CONTRACTOR</p> 	<p>ALTA SORVEGLIANZA</p> 			
<p>Rilevato ferroviario AV da pk 0+174,45 a pk 0+475,00 Relazione Geotecnica</p>	<p>Progetto IN17</p>	<p>Lotto 11</p>	<p>Codifica EI2RBRI0200001B</p>	<p>Foglio 30 di 36</p>

## 7 CONCLUSIONI E RACCOMANDAZIONI

Non si evidenziano criticità di tipo geotecnico e pertanto non è previsto un monitoraggio per il rilevato in oggetto.

GENERAL CONTRACTOR



ALTA SORVEGLIANZA



Rilevato ferroviario AV da pk 0+174,45 a pk 0+475,00 Relazione Geotecnica	Progetto	Lotto	Codifica	Foglio
	IN17	11	EI2RBRI0200001B	31 di 36

**ALLEGATI**

GENERAL CONTRACTOR



ALTA SORVEGLIANZA





Rilevato ferroviario AV da pk 0+174,45 a pk 0+475,00 Relazione Geotecnica	Progetto	Lotto	Codifica	Foglio
	IN17	11	EI2RBRI0200001B	32 di 36

## ALLEGATO 1 - PROFILO STRATIGRAFICO





<p>GENERAL CONTRACTOR</p> 	<p>ALTA SORVEGLIANZA</p> 			
<p>R110a Relazione Geotecnica</p>	<p>Progetto IN17</p>	<p>Lotto 11</p>	<p>Codifica EI2GER110A0001</p>	<p>A</p>

**ALLEGATO 2 - SONDAGGI**

Rilevato ferroviario AV da pk 0+174,45 a pk 0+475,00  
Relazione Geotecnica

Progetto  
IN17

Lotto  
11

Codifica  
EI2RBRI0200001B

Foglio  
35 di 36



Laboratorio Sperimentale  
per prove geotecniche terre, rocce e prove in situ  
Via Collemaroni, 3 - San Vittore del Lazio (FR)  
e-mail: info@geoserving.it

Certificato n° del	Acceptance note n° V5845 del 29/10/2020
Committente: IricAV Due	Sondaggio: BH PE 01
Riferimento: Linea AV/AC Verona-Padova 1° Lotto Verona-Bivio Vicenza	Data: 10/11/2020-11/11/2020
Coordinate:	Quota:
Perforazione: Carotaggio continuo, sonda: CMV1200	

SCALA 1 :100

### STRATIGRAFIA - BH PE 01

Pagina 1/2

Ø mm	R mm	metri v	Prcl. % 0-100	RQD % 0-100	Litologia	prof. m	Quota m	Spes. m	Descrizione	Campioni	RP	Standard Penetration Test S.P.T.	Test N Pt	Le franci C/V cm/sec	A r	Pz		
		1							Materiale di riporto; sabbia fine ghiaiosa con frammenti di laterizi e residui litici di varia natura e grado di arrotondamento, Ø max. 5-6 cm. Molto addensata, colore da marrone scuro a marrone chiaro.	ST1) SP 1,50 2,00	1,6	13-26-28	54	C				
		2								SPT2) SP 3,00 3,45	3,0	15-28-30	58	C				
		3									SPT3) SP 4,50 4,95	4,5	21-33-36	69	C			
		4					4,5	-4,5	4,5									
		5							Sabbia ghiaiosa da medio-fine a grossolana, molto addensata, colore da marrone chiaro ad avana. Presenti ciottoli da sub-arrotondati ad arrotondati, Ø max. 8-9 cm, colore da marrone chiaro ed avana a bianco.	SPT4) SP 6,00 6,45	6,0	24-38-41	79	C				
		6									SPT5) SP 7,50 7,95	7,5	23-36-40	76	C			
		7																
		8																
		9									SPT6) SP 9,00 9,45	9,0	27-40-43	83	C			
		10																
		11																
		12									SPT7) SP 12,00 12,45	12,0	26-41-46	87	C			
		13																
		14																
		15								SPT8) SP 15,00 15,45	15,0	25-38-44	82	C				
		16				15,5	-15,5	11,0										
		17							Ghiaia e sabbia con ciottoli. Sabbia da media a grossolana, molto addensata, colore da marrone chiaro ad avana chiaro. Ghiaia e ciottoli da sub-arrotondati a sub-angolari; ciottoli con Ø max. 8-9 cm, colore da marrone chiaro ad avana.	SPT9) SP 18,00 18,45	18,0	28-35-45	80	C				
		18																
		19																
		20																

Il Responsabile  
dott.geol. Gerardo Barrasso

GENERAL CONTRACTOR



ALTA SORVEGLIANZA



Rilevato ferroviario AV da pk 0+174,45 a pk 0+475,00  
Relazione Geotecnica

Progetto  
IN17

Lotto  
11

Codifica  
EI2RBRI0200001B

Foglio  
36 di 36



Laboratorio Sperimentale  
per prove geotecniche terre, rocce e prove in situ  
Via Collameroni, 3 - San Vittore del Lazio (FR)  
e-mail: info@geoserving.it

Certificato n° del	Acceptance note n° V5845 del 29/10/2020
Committente: IricAV Due	Sondaggio: BH PE 01
Riferimento: Linea AV/AC Verona-Padova 1° Lotto Verona-Bivio Vicenza	Data: 10/11/2020-11/11/2020
Coordinate:	Quota:
Perforazione: Carotaggio continuo, sonda: CMV1200	

SCALA 1:100

### STRATIGRAFIA - BH PE 01

Pagina 2/2

Prof. m	R mm	Prel. % 0-100	RQD % 0-100	Litologia	Descrizione	Campioni	RP m	Standard Penetration Test		Lefezze CV cm/sec	A r	Pz		
								S.P.T.	N					
21					Ghiaia e sabbia con ciottoli. Sabbia da media a grossolana, molto addensata, colore da marrone chiaro ad avana chiaro. Ghiaia e ciottoli da sub-arrotolati a sub-angolari; ciottoli con Ø max. 8-9 cm, colore da marrone chiaro ad avana.	SPT10) 8 <sup>00</sup> <sub>27,45</sub>	21,0	23-33-42	75	C				
22							SPT11) 9 <sup>00</sup> <sub>29,45</sub>	24,0	26-35-46	81	C			
23								SPT12) 8 <sup>00</sup> <sub>27,45</sub>	27,0	29-36-47	85	C		
24								SPT13) 8 <sup>00</sup> <sub>29,45</sub>	29,0	28-40-40	80	C		
25														
26														
27														
28														
29														
30														
101														

Carotaggio continuo a secco.  
Utilizzato carotiere semplice.  
Utilizzata sonda perforatrice tipo CMV1200.  
Prelevati n. 13 campioni SPT.  
Eseguite n. 13 prove S.P.T.

Il Responsabile  
dott.geol. Gerardo Barrasso